

# 微分对策中的有限时间局部捕捉区<sup>1)</sup>

张嗣瀛 吴汉生  
(东北工学院)

## 摘要

本文继续用文献[1,2]中“有限时间局部捕捉区”的概念,分析“双目标微分对策”(或角色二重性)问题,并得到下列新结果:较文献[1,2]更详尽地分析了奇异曲面,分别对于左、右两半目标集得到更为完整的局部捕捉区;得出在捕捉区及“危险区”内控制( $\bar{u}$ ,  $\bar{v}$ )的划分区域;由局部捕捉区可确定任意点处的“捕捉时间”;找出“互相格杀”的区域;讨论了参数变化的影响。

由这些结果可以看出,用“有限时间局部捕捉区”的概念,解这类问题是有效的,亦可能用来解其它有关问题。

## 一、前言

在已有的定性微分对策理论中,当用“界栅”划分“捕捉区”和“躲避区”时,必须考虑全部状态空间。但这样做对某些实际问题是不恰当的。例如在空战中,只是当两机间的距离在一定范围内时才有意义。又如有的飞行器,燃料有一定限制,从而飞行时间及距离也有一定限制。

另外,对于有些问题,界栅可能发生“中断”现象,这时整个状态空间都是捕捉区<sup>[1]</sup>。但是,在实际问题中,对于状态空间中的不同区域,捕捉的难易程度和捕捉时间却有所不同,这两者又是需要加以考虑的。

总之,对于某些问题不必考虑全部状态空间,而需考虑时间。针对此点,我们提出捕捉区与捕捉时间相结合的“有限时间局部捕捉区”的概念,来代替考虑全部状态空间。

所谓“有限时间局部捕捉区”,是据界栅、“时间最优”轨线以及奇异曲面所画出的一种“等时域”,并记为  $T_i$ -区域(对应于某一时间  $T_i$ )。当被追一方位于此区域内时,则将在  $T_i$  秒内被捕捉(被控制到目标集)。用这种区域,可更细致、更具体地分析追躲问题,且可使问题简化。

在原有的微分对策理论中,“追”,“躲”双方的地位都是固定的。但有些问题,例如空战,追躲双方的角色可以互易,追者可变为躲者,或者相反。这类问题称为“角色二重性”

本文于1985年3月27日收到。

1) 中国科学院科学基金资助的课题。本文的部分内容曾在“北京系统与控制国际学术讨论会”(1984年5月)上宣读。

问题，又称“双目标对策”，这是因为每一方都有一个目标集（火力区），各方都力图将对方控制到自己的目标集中去。

解这类问题需要提出新方法，近年来已有一些研究工作<sup>[6,7,8,9,10]</sup>。文献[1,2]提出应用有限时间局部捕捉区的概念，并考虑两种相对运动。设有  $A, B$  两方，先考虑  $B$  对  $A$  的相对运动，找出局部捕捉区 ( $T_i$ -区)；再考虑  $A$  对  $B$  的相对运动，又找出被捕捉过程的“危险区”(即“被捕捉区”)，记为  $T'_i$ -区。有了这两种区域，对双目标对策问题即可得出解答：若  $B$  位于  $A$  的  $T_i$ -区，则  $B$  将在  $T_i$  秒内被  $A$  捕捉；若  $B$  位于  $A$  的  $T'_i$ -区，则  $A$  将在  $T'_i$  秒内被  $B$  捕捉。

本文将继续用上述概念和方法，对双目标对策问题做进一步的分析讨论，并得到摘要中所列出的一些新结果。

## 二、界栅、奇异曲面、( $\bar{u}, \bar{v}$ ) 的划分区域

### 1. 模型

设  $A, B$  两机，在平面上进行空战， $B$  对  $A$  的相对运动方程为<sup>[1,2,4]</sup>：

$$\begin{aligned}\dot{x} &= V_2 \sin \theta - \frac{V_1}{R_1} uy, \\ \dot{y} &= V_2 \cos \theta + \frac{V_1}{R_1} ux - V_1,\end{aligned}\tag{2.1}$$

$$\dot{\theta} = \frac{V_2}{R_2} v - \frac{V_1}{R_1} u, \quad -1 \leq u \leq 1, \quad -1 \leq v \leq 1.\tag{2.2}$$

其中

$V_1$  为  $A$  的速度，常数； $R_1$  为  $A$  的最小转弯半径； $V_2$  为  $B$  的速度，常数； $R_2$  为  $B$  的最小转弯半径； $u$  为  $A$  的控制，可自  $-1$  变到  $+1$ ，对应于转弯半径自  $-R_1$  变到  $+R_1$ ； $v$  为  $B$  的控制，性质同上； $\theta$  为  $A$  与  $B$  飞行方向间的夹角。

目标集为扇形，是飞机的火力区，为以下各集之交。

$$\begin{aligned}\phi_1(x, y) &= x^2 + y^2 - r^2 \leq 0, \quad \phi_2(x, y) = x - by \leq 0, \\ \phi_3(x, y) &= -(x + by) \leq 0, \quad \phi_4(x, y) = -y + c \leq 0.\end{aligned}\tag{2.3}$$

其中， $r, b, c$  是些常数。又记“ $s$ ”为一半扇形所对的角度。

今先取右半扇面作为目标集。这里将对策的“结束”定义为， $B$  位于扇形的弧上，且在对策结束的  $t_1$  时，相对速度为

$$\dot{x}(t_1) = 0.\tag{2.4}$$

亦即  $B$  被捕捉时， $B$  相对于  $A$  的飞行方向指向  $A$  的正前方。这对于  $A$  是一个攻击良机。条件(2.4)对应于某一值  $\theta(t_1)$ 。

$\dot{x}(t_1)$  和  $\theta(t_1)$  还可取其它值。我们所寻求的解可认为是从对应于一切可能的  $\theta(t_1)$  的解中挑选出来的一个。这样，目标集中就不含  $\theta(t_1)$ ，使问题简化。

### 2. 界栅

对于式(2.1)，可写出 Hamilton 函数、伴随方程及其边界条件，并据定性极值原理确

定与界栅相对应的最优控制  $(\bar{u}, \bar{v})$ , 然后倒转时间, 求出  $x, y, \theta$  的解的表达式. 这些做法与文献[1,2]相同, 这里不再赘述.

取与文献[1,2]不同的另一组数据:

$$\begin{aligned} V_1 &= 500 \text{ m/s}, & R_1 &= 25000 \text{ m}, & V_2 &= 350 \text{ m/s}, \\ R_2 &= 14000 \text{ m}, & S &= 5^\circ, & r &= 800 \text{ m}. \end{aligned} \quad (2.5)$$

并求出与界栅相对应的最优控制  $(\bar{u}, \bar{v})$

$$\bar{u} = +1, \quad \bar{v} = +1, \quad (2.6)$$

且  $\bar{u}$  保持 +1 直到  $\tau = 158$  秒,  $\bar{v}$  保持 +1 直到  $\tau = 129.3$  秒. 在以上条件下, 倒转时间方程的边界条件将为

$$\begin{aligned} x^0 &= 67.7246 \text{ m}, & y^0 &= 796.9558 \text{ m}, \\ \theta^0 &= 0.04555 \text{ rad.} & \lambda_1^0 &= -1, \\ \lambda_2^0 &= 0, & \lambda_3^0 &= 0. \end{aligned} \quad (2.7)$$

这样即可在计算机上据解的表达式<sup>[1,2]</sup>算出界栅的数据, 然后画出界栅(图 2.1 中的  $\beta$ ). 更确切地说, 这是  $x, y, \theta$  三维空间中的界栅在  $x-y$  平面上的投影. 但这也正是飞机的实际平面运动的曲线. 下面对于奇异曲面(线)及其它最优轨线也都这样做, 投影到  $x-y$  平面后, 再找出等时域.

### 3. 奇异曲面

可以证明, 对右半扇面有两个奇异曲面.

1)  $v$ -泛曲面 ( $v$ -universal surface,  $v$ -US),

此曲面发生在

$$S = \theta^0 = 0.04555 \text{ rad}$$

处, 并由下式确定

$$\frac{\partial H}{\partial v} = 0, \quad \frac{d}{dt} \left( \frac{\partial H}{\partial v} \right) = 0. \quad (2.8)$$

这导致

$$\lambda_3(\tau) = 0, \quad \dot{\lambda}_3(\tau) = 0.$$

在此曲面上的控制  $\ddot{v}$  由下式确定

$$\frac{d^2}{dt^2} \left( \frac{\partial H}{\partial v} \right) = 0,$$

并将给出

$$\ddot{v} = 0. \quad (2.9)$$

此控制的最优化可由“推广的凸性条件”<sup>[5]</sup>验证

$$(-1)^K \frac{\partial}{\partial v} \left[ \left( \frac{d}{dt} \right)^{2K} \left( \frac{\partial H}{\partial v} \right) \right] \geq 0, \quad K = 0, 1, 2, \dots \quad (2.10)$$

在本问题中, 对于  $K = 1$ , 有

$$(-1) \frac{\partial}{\partial v} \left[ \left( \frac{d}{dt} \right)^2 \left( \frac{\partial H}{\partial v} \right) \right] = (-1) \cdot \frac{V_2^3}{R_2^2} [\lambda_1 \sin \theta + \lambda_2 \cos \theta] = \frac{V_2^3}{R_2^2} 2r > 0, \quad (2.11)$$

故满足条件(2.10).

在  $v$ -泛曲面上,有如下的控制

$$\bar{u} = +1, \quad \dot{v} = 0, \quad (2.12)$$

且可求出奇异曲面的表达式为

$$\begin{aligned} x(\tau) &= x^0 \cos \frac{V_1}{R_1} \bar{u} \tau + y^0 \sin \frac{V_1}{R_1} \bar{u} \tau + \frac{R_1}{\bar{u}} \left( 1 - \cos \frac{V_1}{R_1} \bar{u} \tau \right) \\ &\quad - V_2 \tau \sin \left( \theta^0 + \frac{V_1}{R_1} \bar{u} \tau \right), \\ y(\tau) &= y^0 \cos \frac{V_1}{R_1} \bar{u} \tau - x^0 \sin \frac{V_1}{R_1} \bar{u} \tau + \frac{R_1}{\bar{u}} \sin \frac{V_1}{R_1} \bar{u} \tau \\ &\quad - V_2 \tau \cos \left( \theta^0 + \frac{V_1}{R_1} \bar{u} \tau \right), \\ \theta(\tau) &= \theta^0 + \frac{V_1}{R_1} \bar{u} \tau. \end{aligned} \quad (2.13)$$

## 2) $u$ -泛曲面 ( $u$ -US).

类似地,存在一  $u$ -泛曲面,它发生在

$$x^0 = 0, \quad y^0 = 800, \quad s = 0^\circ.$$

在此曲面上

$$\ddot{u} = 0, \quad \dot{v} = -1. \quad (2.14)$$

$\ddot{u} = 0$  的最优性,可据

$$(-1)^k \frac{\partial}{\partial u} \left[ \left( \frac{d}{dt} \right)^{2k} \left( \frac{\partial H}{\partial u} \right) \right] \leq 0, \quad k = 0, 1, 2, \dots \quad (2.15)$$

验证。与奇异曲面相对应的解可将  $\ddot{u} = 0$  代入运动方程并由简单的积分得到。

有了这两条泛曲线(面),又可自此曲面上的点出发,确定出“时间最优”的控制( $\bar{u}, \bar{v}$ ),倒转时间,算出流向奇异曲面的最优轨线(支线)。

界栅、奇异曲面,及所有到达目标集弧上的最优轨线如图 2.1 所示,计算数据从略。

## 4. ( $\bar{u}, \bar{v}$ ) 的划分区域

根据以上的分析计算结果,可画出在局部捕捉区中  $(\bar{u}, \bar{v})$  取不同值的区域,如图 2.2 所示。这样,就确定了在局部捕捉区的不同区域中的控制规律。

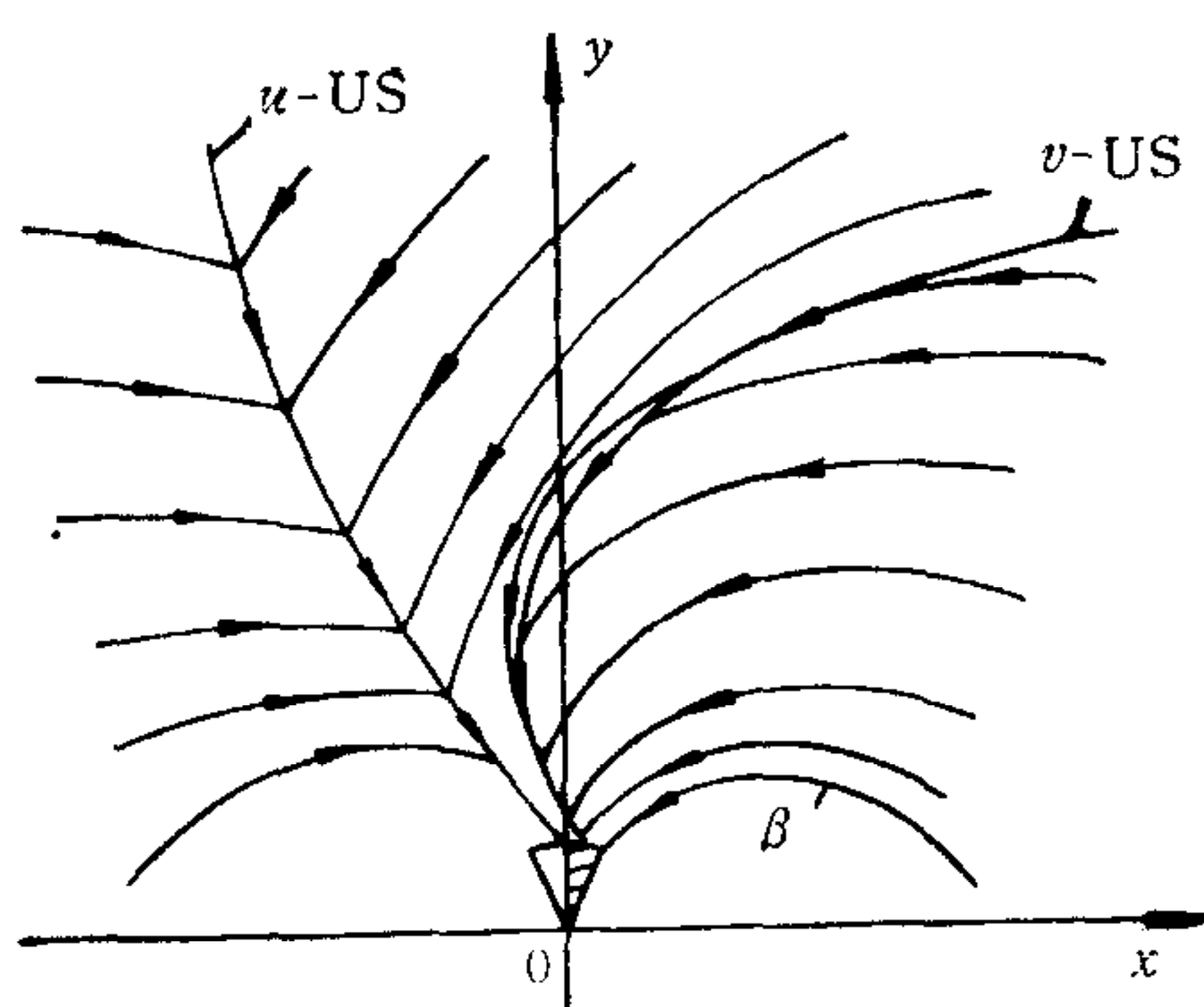


图 2.1

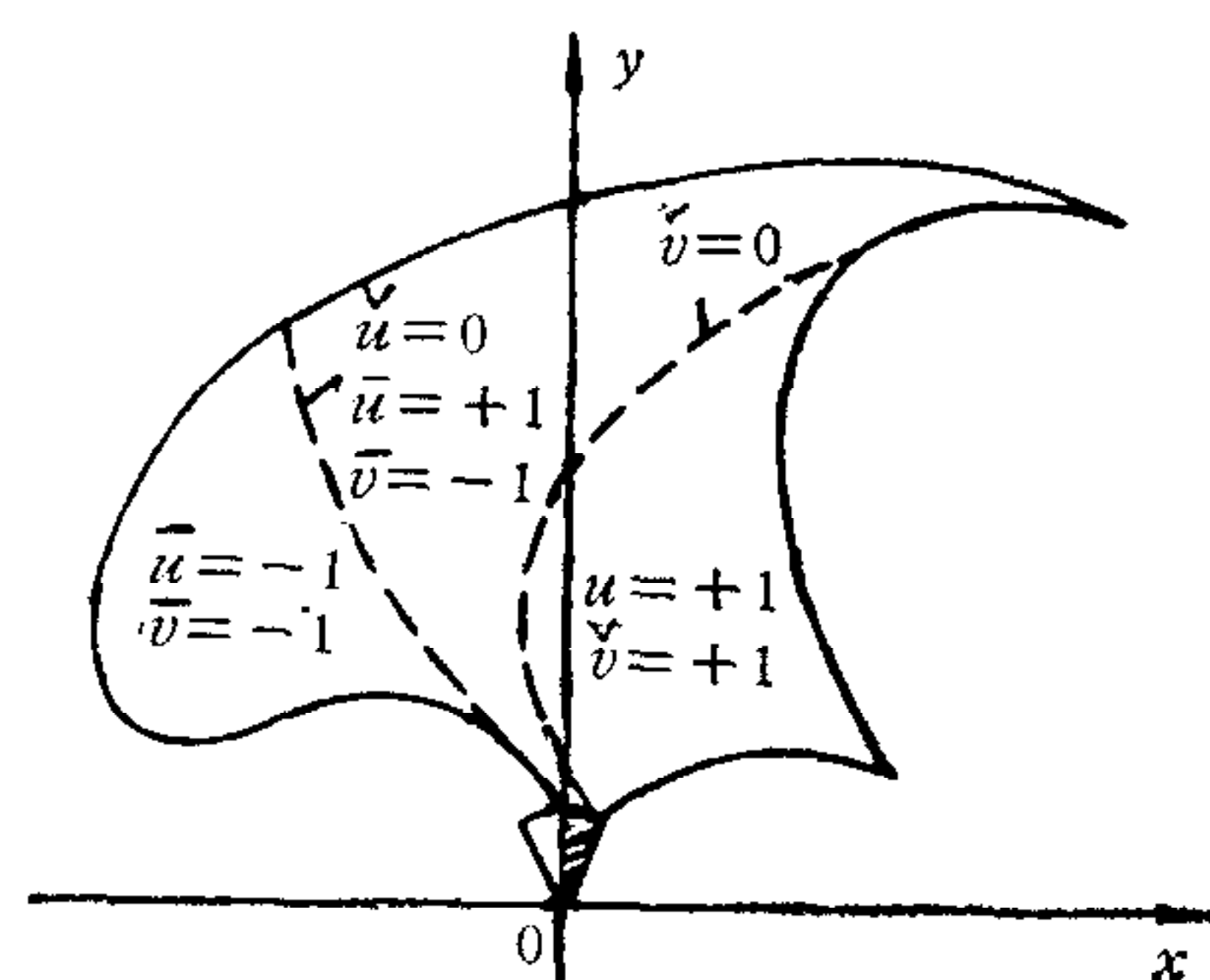


图 2.2

### 三、有限时间局部捕捉区、危险区、捕捉时间、互相格杀区、参数变化的影响

#### 1. 有限时间局部捕捉区和危险区

据轨线分布图、 $x$ ,  $y$ ,  $\theta$  的数据及  $A$  对  $B$  相对运动的坐标变换<sup>[1,2]</sup>:

$$x' = -x \cos \theta + y \sin \theta,$$

$$y' = -x \sin \theta - y \cos \theta,$$

$$\theta' = -\theta.$$

可得到这两个区域的图形(图 3.1).

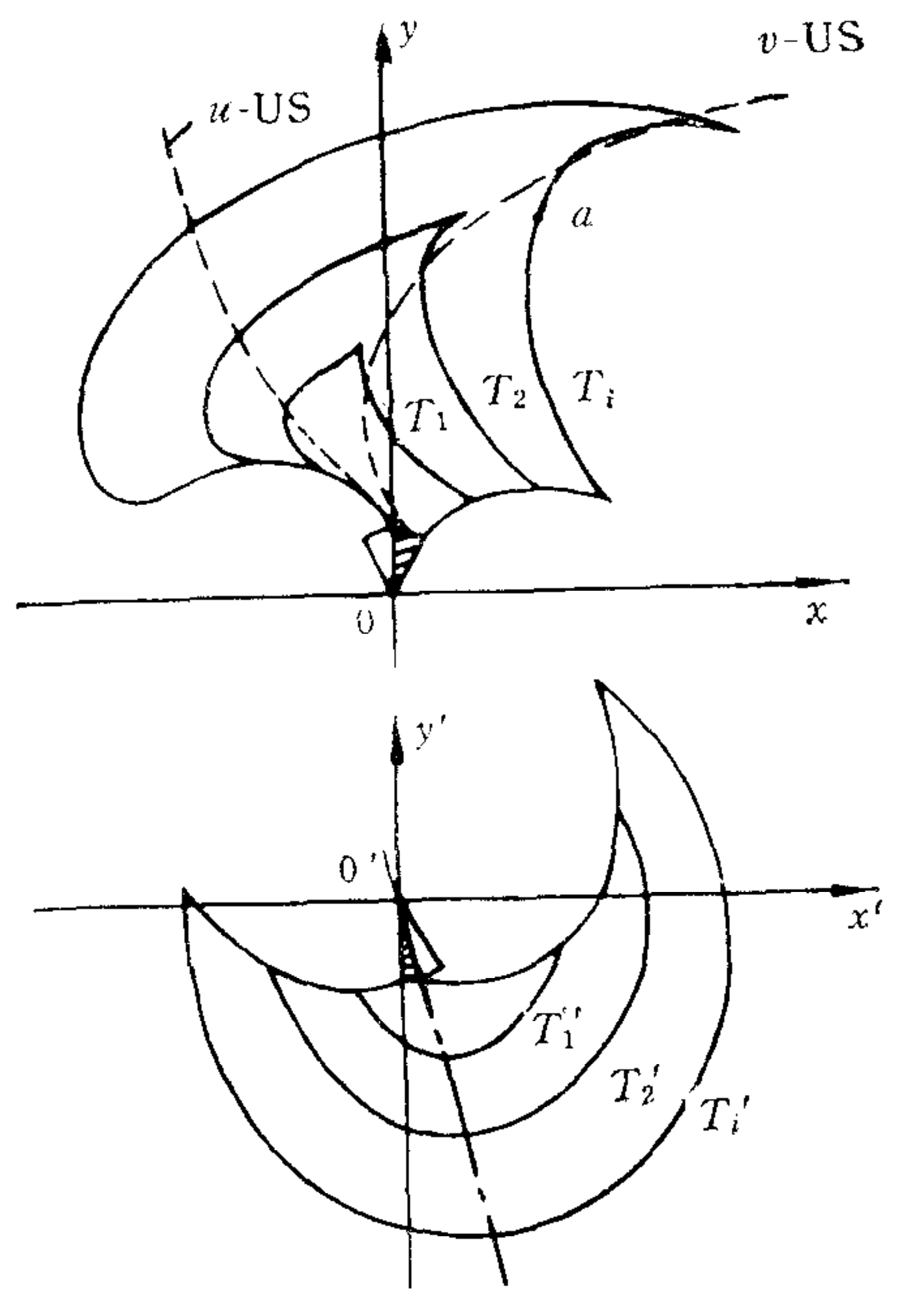


图 3.1

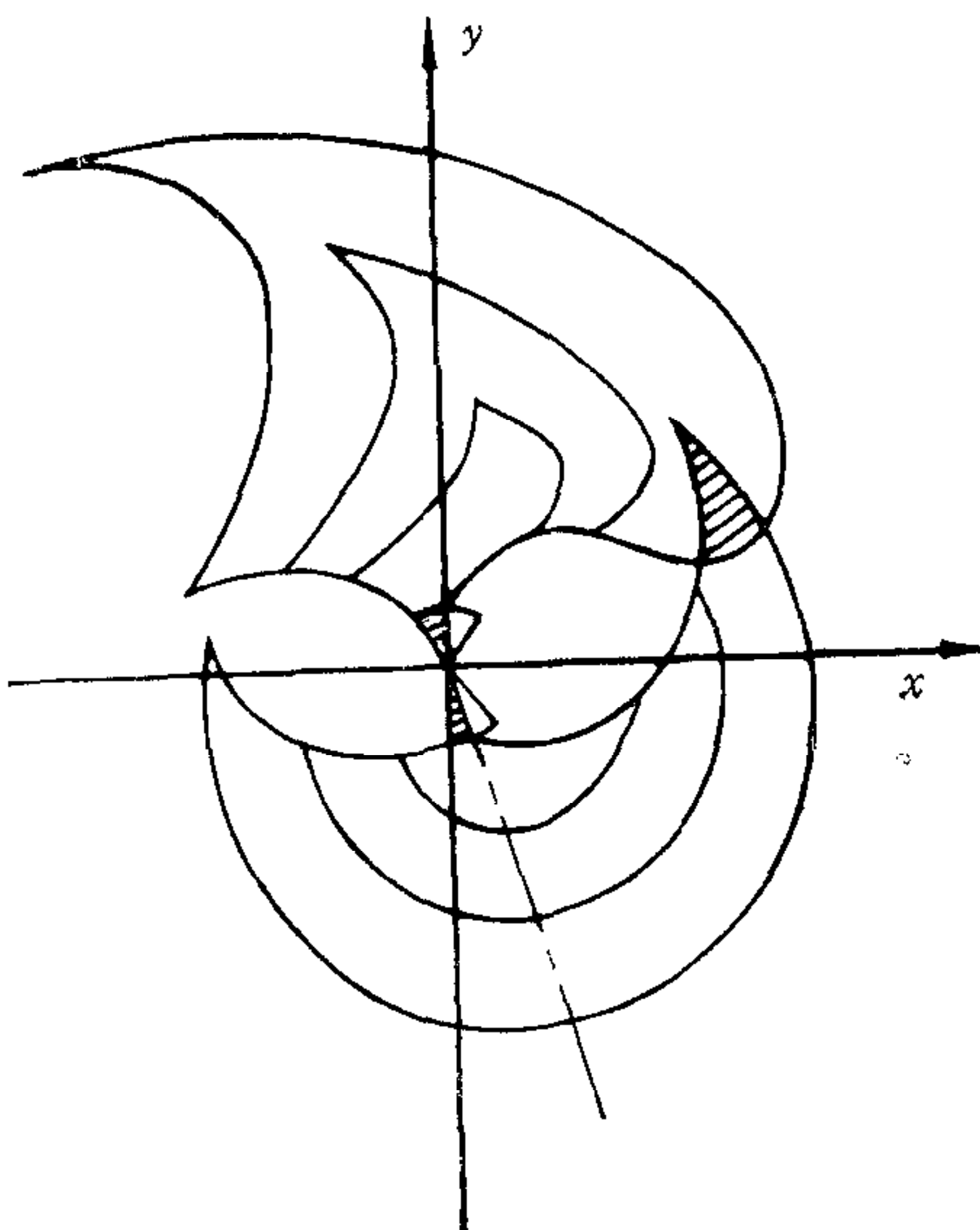


图 3.2

对于左半扇面的目标集, 将有完全对称的结果。对于整个扇形目标集, 只需将这两部分区域合在一起。

注意到上述图形是轨线  $x$ ,  $y$ ,  $\theta$  在  $x$ - $y$  平面上的投影, 因此, 在投影面上, 对于左、右两半目标集的轨线可能相交, 但实际上在三维空间中并非相交, 因它们具有不同的  $\theta(\tau)$  的值。

#### 2. 捕捉时间

有了局部捕捉区, 则不论飞机位于任何位置, 捕捉时间均可立即定出。例如, 当位于某一  $T_i$ -捕捉区的边界上时(图 3.1 的点  $a$ ), 捕捉时间就是  $T_i$  秒。

#### 3. 相互格杀区

$T_i$ -区和  $T'_i$ -区可以相交, 如图 3.2 中的阴影部分。如果一方位于此阴影区中, 则有

两种可能：或被对方捕捉；或将对方捕捉。这取决于当时的有关参数（如所对应的  $\theta(\tau)$  的值）及双方所使用的策略。这种现象，称为“互相格杀”。图中的阴影区称为“互相格杀区”。

#### 4. 参数变化的影响

此问题在文[1,2]中已做过一些讨论。

今取如下一组数据：

$$\begin{aligned} V_1 &= 500 \text{ m/s}, \quad V_2 = 250 \text{ m/s}, \\ R_1 &= 25000 \text{ m}, \quad R_2 = 17000 \text{ m}, \quad (3.1) \\ s &= 5^\circ, \quad r = 800 \text{ m}. \end{aligned}$$

并于计算后画出  $T_i$ -区和  $T'_i$ -区，对于从 30s 到 60s 的  $T_i$ -区，如图 3.3 所示。

图中的虚线，是对应于数据(2.5)的  $T_i$ -区。从图中可以看出，两组数据比较，由于式(3.1)中 A 方在速度上有更大优势，故其正前方的捕捉区范围更大。对于(2.5)式，B 方在转弯的灵活性上占优势，故他可向左右两侧的后方做更多的迂迴，这样， $T_i$ -区与  $T'_i$ -区相交的可能性及相交区域的面积就更大，从而更可能出现“互相格杀”的局面。

还可讨论  $\theta(t_1)$  的变化对于捕捉区的影响。

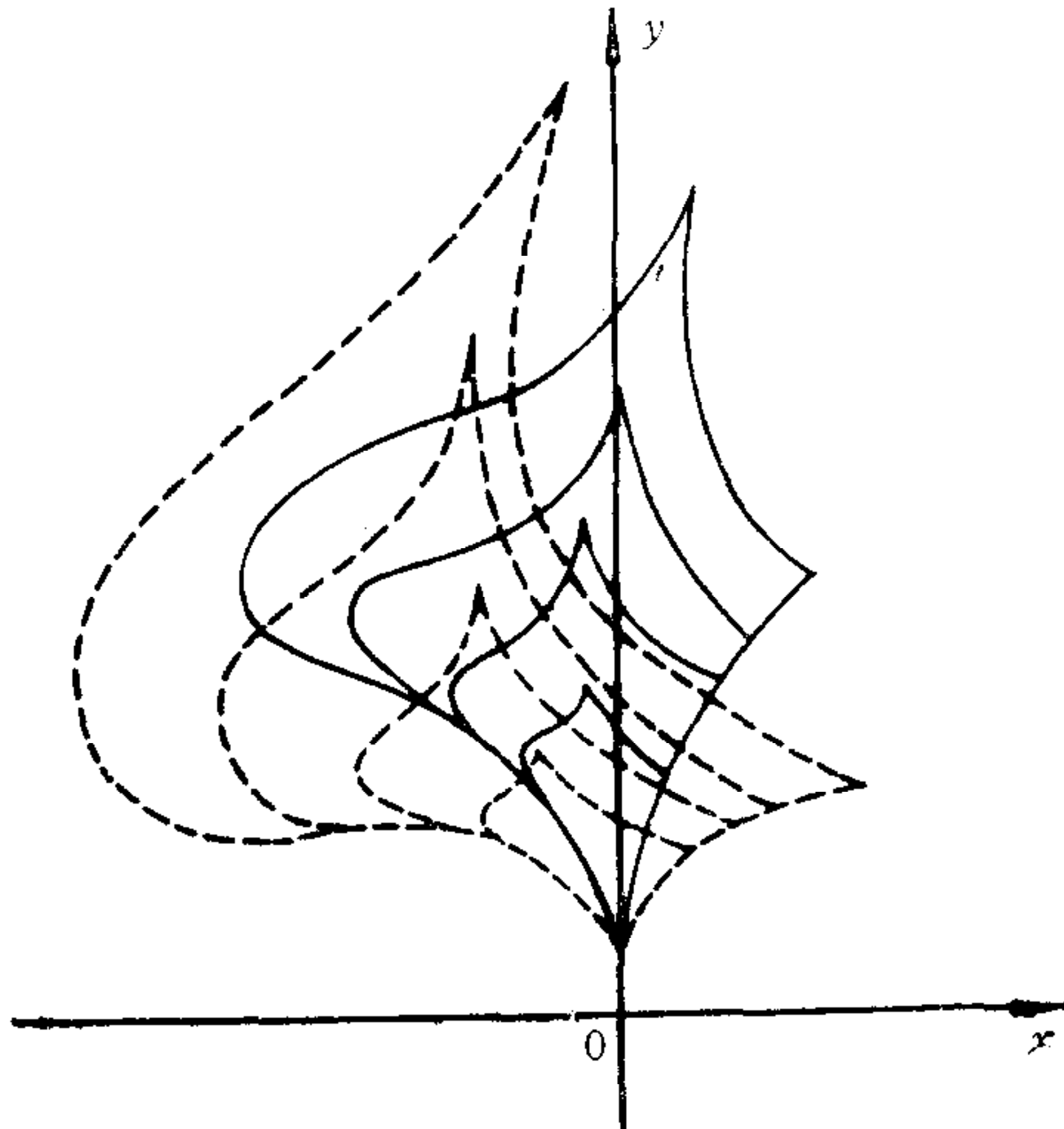


图 3.3

### 四、结语

(1) 文[1]中对于右半扇面目标集计算局部捕捉区时，只考虑了右半状态平面。这里考虑了在时间  $T_i$  内一切可能控制到右半目标集的区域，同时还分析了两种奇异曲面，因而得到更为完整的解。

(2) 由捕捉区和危险区的形状可以看出：捕捉区在前方左右两侧，危险区在后方左右两侧，且均随时间的增大而扩展。“互相格杀区”发生在左右偏后两侧。这些情况，都和实际经验相符合。

(3) 用局部捕捉区的概念，对于问题可做更细致、更具体的分析。例如捕捉区随时间的变化、随参数的变化、捕捉时间的确定、在捕捉区的不同区域内控制规律  $(\bar{u}, \bar{v})$  的确定、互相格杀区域的分析等。这与分析全部状态空间相比较(如文[6—10])，有更多的优点。

(4) 由以上可见，我们在文[1,2]中提出的概念和方法，对于解决问题是有效的。

(5) 事实上，“有限时间局部捕捉区”的概念是一个一般的概念，它不仅限于解这里的双目标微分对策问题，可以期望，它还可能被用来解其它有关问题。

### 参考文献

[1] Zhang Siying, Wu Hansheng, Wang Jingcai, An Approach to Solve the Role Ambiguity Problem in Aerial

- Combat. Paper on 9th IFAC World Congress, Budapest. Preprints, V(1984), 160—165 .
- [2] 张嗣瀛, 空战格斗中的两个区域, 自动化学报, 第7卷, 第3期, 1981.
- [3] Zhang Siying A new Approach of Solving Qualitative Differential Games and Determining the Boundary of Controllable Region. Paper on 8th IFAC World Congress, Preprints, IX(1981), 128—133.
- [4] Isaacs R., Differential Games, John Wiley and Sons, 1965.
- [5] Bryson, A. E., Ho. Y. C., Applied Optimal Control, Hemisphere Publishing Corporation, 1975.
- [6] Olsder, G. J., Breakwell, J. V., Role Determination in Aerial Dogfight. *International Journal of Game Theory*, 3(1974).
- [7] Peng, W. Y., Vincent, T. L., Some Aspects of Aerial Combat. *AIAA Journal*, 13(1975), No. 1.
- [8] Getz, W. M., Leitmann, G., Qualitative Differential Games with Two Targets. *Journal of Mathematical Analysis and Applications*, 68(1979).
- [9] Getz, W. M., Pachter, M., Two-target Pursuit-evasion Differential Games in the Plane. *Journal of Optimization Theory and Applications*, 34(1981), No. 3.
- [10] Getz, W. M., Pachter, M., Capturability in a Two Target Game of Two Cars. *AIAA Journal of Guidance and Control*, 4(1981).

## THE PARTIAL CAPTURE REGION ON FINITE TIME INTERVAL IN DIFFERENTIAL GAMES

ZHANG SIYING, WU HANSHENG

(Northeast Institute of Technology)

### ABSTRACT

In this paper, as a subsequent work of [1, 2], the idea of “partial capture region on finite time interval” and the method in [1, 2] are used to solve the two-target differential game (or role ambiguity problem). The following new results are obtained. the singular surfaces are analysed in more details than that in [2] and the partial capture regions are constructed more completely for the right and left half target set; both the capture and “danger” regions are divided into several subregions for different  $(\bar{u}, \bar{v})$ ; for any state the “time to go” can be determined by the partial capture regions; the region of “simultaneous kill” is obtained; the effects of altering parameters are discussed.

These results show that our method is effective, and it can be used to solve some other relevant problems.